

第 5 表 地質單元總括表

GEOLOGIC UNIT	COLOR on False color image BGR=145	TEXTURE	DRAINAGE		ROCK RESISTANCE	BEDDING	LINEAMENT DENSITY	LITHOLOGY	GEOLOGICAL CORRELATION	
			PATTERN	DENSITY					1	2
Q-tm	bluish gray	very fine	-	-	very low	-	-	sand, gravel	Marine terrace deposit	Marine terrace deposit
Q-g	gray, pale gray, brown	fine-medium	-	-	low	-	-	clay, sand, gravel	Glacial deposit	Glacial deposit
Q-el	pale grey, white, purplish gray	medium-coarse	-	-	low	-	-	clay, sand, gravel	Eluvial deposit	Eluvial deposit
Q-e	pale gray	fine	-	-	very low	-	-	sand	Eolian deposit	Eolian deposit
Q-al	pale brown	medium	sub-dendritic	low	low	-	-	sand, gravel	Aluvial	Aluvial
Q-and	dark grey, redish brown, bluish gray	medium-coarse	sub-dendritic	low-medium	medium-high	-	-	lava, pyroclastics	Andahua Gp.	Andahua Gp.
NQ-ba	greenish gray, dark brown	medium	dendritic	medium	medium-high	-	low	lava	Barroso Gp.	Barroso Gp.
Np-ch	pale brown, purplish gray	medium-coarse	dendritic	high	low	-	very low	siltstone, sandstone, conglomerate	Millo Fm. Changuillo Fm.	Changuillo Fm.
Nm-hu	pale brown, pale greenish gray	fine	parallel	high	low	-	very low	tuff, tuff-breccia	Huaylillas Fm.	Huaylillas Fm.
Nm-al	pale gray	fine	dendritic	medium	low-medium	-	very low	tuff	Alpabamba Fm.	Alpabamba Fm.
Nm-na	pale brown, pale gray	coarse	parallel	high	low	-	very low	tuuf, ignimbrite	Nasca Gp.	Nasca Gp.
Nm-pi	pale bluish gray, pale gray	medium	dendritic	medium	medium	very poor bedded	very low	sandstone	Pisco Fm.	Pisco Fm.
Nm-ca	grayish brown	coarse	dendritic	medium-high	low-medium	very poor bedded	very low	pyroclastics	Camaná Gp.	Camaná Gp.
PN-ta	bluish gray, brown, pale brown	medium	dendritic	medium	medium	-	very low-medium	lava, pyroclastics	Orcopampa Fm. Tacaza Gp.	Tacaza Gp.
Pe-pa	pale gray, gray	medium-coarse	dendritic	low	low	poor bedded	-	shale, sandstone, conglomerate	Paracas Gp.	Paracas Gp.
Pe-ca	gray, pale brown	medium	dendritic	high	low-medium	very poor bedded	-	conglomerate	Caraveli Fm.	Caraveli Fm.
KP-sj	pale brownish gray, brown, light gray, pale greenish gray	fine-medium	dendritic	medium-low	medium	very poor bedded	-	sandstone, conglomerate	Sotillo Fm. Huanca Fm. San Jose Fm.	San Jose Fm.
Ks-se	brown	medium	dendritic	medium	medium	very poor bedded	-	sandstone, siltstone	Saraj Fm.	Saraj Fm.
Ki-ar	dark brown, bluish gray	medium	dendritic	medium	medium	very poor bedded	medium	sandstone, limestone	Arcurquina Fm.	Arcurquina Fm.
Ki-pa	light redish gray	coarse	dendritic	high	low-medium	bedded	low	limestone	Portochuelo Fm.	Pariatambo Fm.
Ki-ca	brown, light redish gray, dark gray	coarse	dendritic	high	medium	poor bedded	high	pyroclastics	Copora Fm.	Casma Fm.
Ki-mu	brown	medium	dendritic	medium-high	medium	very poor bedded	medium	sandstone, limestone	Murco Fm.	Murco Fm.
JK-yu	pale gray, light redish brown	fine	dendritic	high	medium-high	poor bedded	low	sandstone	Yura Gp.	Yura Gp.
Js-gu	greenish gray, dark brown	medium	dendritic	high	medium-high	poor bedded	high	sandstone, mudstone	Guaneros Fm.	Guaneros Fm.
Jm-so	light redish gray, pale brown	medium	dendritic	low-medium	medium	poor bedded	-	sandstone, limestone	Socosani Fm.	Socosani Fm.
Ji-ch	greenish gray, brown	medium	dendritic	medium	low-medium	-	medium	sandstone, andesite	Chocolate Fm.	Chocolate Fm.
Per-mi	light greenish gray	medium	dendritic	medium-high	medium	-	low	sandstone	Mitu Gp.	Mitu Gp.
Cs-ta	light yellowish brown	medium-coarse	dendritic	medium	low-medium	-	low	sandstone, mudstone, siltstone	Tarma Gp.	Tarma Gp.
Ci-am	gray	medium-coarse	-	-	low	-	-	sandstone, shale	Ambo Gp.	Ambo Gp.
Cmb-ma	light redish grey	coarse	-	-	low	poor bedded	low	limestone	Marcona Fm.	Marcona Fm.
PeB	light bluish gray, pale gray, brown	coarse	dendritic	medium	medium	very poor bedded	low-medium	metasediments, metamorphic rock	San Juan Fm. Basal Complex	Basal Complex
P-an/ri	gray, bluish gray, brown, pale brown	medium	dendritic	medium	medium	-	low	andestic intrusives	Andestic Intrusives	Andestic Intrusives(P-an/ri)
Ks-ti	pale brown, brown, greenish gray, light purplish gray, gray	medium-coarse	dendritic	medium-high	medium	-	low-medium	granite	Tiabaya superunit Lucumayo granite Huamay granite	Tiabaya superunit
Ks-in	gray, brown, pale gray	medium-coarse	dendritic	low-medium	medium	-	medium	tonalite, granodiorite	Incahuasi superunit	Incahuasi superunit
Ks-pa	pale brown, light purplish gray	medium	dendritic	medium-high	medium	-	low	granodiorite, diorite	Panpahuasi superunit	Panpahuasi superunit
Ki-li	light greenish gray, pale brown	medium	dendritic	medium-high	medium	-	low	monzonitic intrusives	Linga superunit Cobrepampa monzonite	Linga superunit
Ki-pt	pale brown, brown	medium	dendritic	low-medium	medium	-	low	diorite, gabro	Patap superunit Acari diorite	Patap superunit
Ki-tun	bluish gray, purplish gray	coarse	-	-	medium-high	-	medium	andestic intrusives	Tunga Andesite	Bella Union Complex
Ki-bu	bluish gray, light greenish gray, pale brown	coarse	dendritic	medium-high	medium	-	medium	andestic intrusives	Bella Union Complex	Bella Union Complex
P-sn	light gray, bluish gray, light purplish gray	coarse-medium	dendritic	medium-high	medium(-high)	-	low	granite porphyry	San Nicolas Batholith	San Nicolas Batholith

1:「501 Cuadrangulos Geologicos Digitales de la Varta Nacional 1960-1999」
2: This study

第四系の単元「Q」は以下の6つの単元に細区分される。

(a) 単元 Q-a1

沖積層、河川堆積物であり、調査地域全域の河川沿いに分布する。

(b) 単元 Q-e

風成堆積物であり、砂丘を形成している。調査地域の海岸沿いの図画 29-1、図画 30-m、図画 30-n、図画 31-m、図画 31-n、図画 32-n、図画 32-ñ に分布する。

(c) 単元 Q-e1

山岳地での崖錐性堆積物や、調査地域北西部海岸平野(図画 29-1 および図画 29-m)に分布する残留堆積物などの現地性堆積物である。

(d) 単元 Q-g

調査地域東部山岳地に分布する氷成堆積物及び氷堆石である。図画 32-q、図画 32-r および図画 31-r に分布する。

(e) 単元 Q-tm

調査地域西部海岸地域に分布する海岸段丘堆積物である。図画 31-n および図画 32-n では、現在の海岸線から約 10km 内陸まで、段丘面と段丘崖が繰り返しているのが確認できる。

(f) 単元 Q-and

調査地域東部のアルティプラノに認められる、現世の火山砕屑岩類及び溶岩である。図画 31-r、図画 32-r 及び図画 32-q に分布する。直径 2km 前後の火山円錐丘や溶岩の流動構造などが確認できる。

(2) 単元 NQ-ba

図画 32-p、図画 32-q、図画 32-r および図画 31-r に分布が認められる。画像上では濃褐色～緑灰色を呈する。肌理は中で、水系密度は中である。侵食抵抗は中～高である。図画 31-r では直径 1 km 前後の火山円錐丘が認められる。Pliocene～Pleistocene の火山噴出物である Barroso 層群に対比される。

(3) 単元 Np-ch

図画 30-m、図画 30-n、図画 32-o および図画 32-p に分布する。画像上では淡褐色～紫灰色を呈する。肌理は粗～中で、水系密度は高である。侵食抵抗は低である。Pliocene～Pleistocene の海成及び陸成層であるチャンギジョ (Changuillo) 累層およびミジョ (Millo) 累層に対比される。

(4) 単元 Nm-hu

図画 32-ñ、図画 32-o、図画 32-p および図画 32-q の西アンデス山脈西斜面に分布し、台地を形成する。画像上では淡褐色及び淡緑灰色を呈する。肌理は細で、Parallel の水系パターンが特徴的であり、密度は高である。侵食抵抗は低である。Miocene の火山砕屑岩であるワイリジャス (Huaylillas) 累層に対比される。

(5) 単元 Nm-a1

図画 32-q および図画 31-r に分布する。画像上では淡灰色を呈する。肌理は細で、水系密度は中である。侵食抵抗は低～中である。Miocene の火山砕屑岩であるアルパバンバ(Alpabamba)累層に対比される。

(6) 単元 Nm-na

図画 29-m、図画 30-m、図画 30-n および図画 32-n の西アンデス山脈西斜面に分布する。画像上では淡褐色及び淡緑灰色を呈する。肌理は粗で、Parallel の水系パターンが特徴的であり、密度は高である。侵食抵抗は低である。Miocene の火山砕屑岩である Nasca 層群に対比される。

(7) 単元 Nm-pi

調査地域西部海岸地域の図画 29-1、図画 30-m、図画 31-m、図画 32-n に分布する。画像上では明灰及び淡青灰色を呈する。肌理は中で、水系密度は中である。侵食抵抗は中である。Miocene の堆積岩であるピスコ(Pisco)累層に対比される。

(8) 単元 Nm-ca

図画 32-p の南部にのみ僅かに分布する。画像上では灰褐色を呈する。肌理は粗で、水系密度は中～高である。侵食抵抗は低～中である。Miocene の堆積岩であるカマナ(Camaná)層群に対比される。

(9) 単元 PN-ta

調査地域東部の図画 32-q、図画 31-r および図画 32-r に分布する。画像上では褐色～淡褐色および青灰色を呈する。肌理は中で、水系密度は中である。侵食抵抗は中である。Paleocene から Miocene の火山岩である Tacaza 層群に対比される。

(10) 単元 Pe-pa

調査地域西部及び南部の海岸地域、図画 30-m、図画 32-p および図画 32-q に分布する。画像上では灰色、明灰色及び淡灰色を呈する。肌理は中～粗で、水系密度は低である。侵食抵抗は中である。Eocene の堆積岩であるパラカス(Paracas)累層に対比される。

(11) 単元 Pe-ca

調査地域東南部、図画 32-p および図画 32-q に分布する。画像上では灰色及び淡褐色を呈する。肌理は中で、水系密度は高である。細かい水系が発達しているのが特徴的である。侵食抵抗は低～中である。Eocene のモラッセ堆積物であるカラベリ(Caraveli)累層に対比される。

(12) 単元 KP-sj

図画 32-p、図画 32-q および 32-r にそれぞれ小規模に分布する。画像上では淡灰褐色～褐色、淡緑灰色～明灰色を呈する。肌理は細で、水系密度は中～低である。侵食抵抗は中である。Cretaceous 末～Paleocene の堆積岩であるサンホセ(San Jose)累層、ソティジョ(Sotillo)累層、ワンカ(Huanca)累層に対比される。

(13) 単元 Ks-se

調査地域東部の図画 32-r に小規模に分布する。画像上では褐色を呈する。肌理は中で、水系

密度は中である。侵食抵抗は中である。上部白亜系の堆積岩である Seraj 累層に対比される。

(14) 単元 Ki-ar

調査地域東部の図画 31-r および図画 32-r に分布する。画像上では暗褐色及び青灰色を呈する。肌理は中で、水系密度は中である。侵食抵抗は中である。下部白亜系の堆積岩であるアルクルキナ(Arcurquina)累層に対比される。

(15) 単元 Ki-pa

調査地域西部の図画 29-m、図画 30-m および図画 30-n に小規模に分布する。画像上では明赤灰色を呈する。肌理は粗で、水系密度は高である。侵食抵抗は低から中である。下部白亜系の堆積岩であるパリアタンボ(Pariatambo)累層に対比される。

(16) 単元 Ki-ca

調査地域西部の図画 29-1、図画 29-m、図画 30-m、図画 30-n、図画 31-m、図画 31-n および図画 32-n にかけて分布する。画像上では明赤灰色、暗灰色を呈する。肌理は粗で、水系密度は高である。侵食抵抗は中である。下部白亜系の火山砕屑岩であるカスマ(Casma)層群に対比される。

(17) 単元 Ki-mu

調査地域東部の図画 31-r および図画 32-r に分布する。画像上では褐色を呈する。肌理は中で、水系密度は中～高である。侵食抵抗は中である。下部白亜系の堆積岩であるムルコ(Murco)累層に対比される。

(18) 単元 JK-yu

ほぼ全図画に分布するが、北西部の図画 29-1、図画 30-n および東部の図画 32-r に広く分布する。画像上では明赤褐色、淡灰色を呈する。肌理は細で、水系密度は高である。侵食抵抗は中～高である。図画 32-r の一部にて、ベディングトレースが認められる。上部ジュラ系から下部白亜系の堆積岩であるユラ(Yura)層群に対比される。

(19) 単元 Js-gu

図画 29-1、図画 29-m、図画 30-m、図画 30-n、図画 32-ñ および図画 32-o に分布する。画像上では赤褐色、淡灰色を呈する。肌理は中で、水系密度は高である。侵食抵抗は中～高である。図画 32-n の一部にて、ベディングトレースが僅かに認められる。上部ジュラ系の堆積岩であるGuaneros 累層に対比される。

(20) 単元 Jm-so

調査地域東部の図画 32-q および図画 32-r に僅かに分布する。画像上では明赤灰色、淡褐色を呈する。肌理は中で、水系密度は低～中である。侵食抵抗は中である。NW-SE 走向のベディングトレースが認められる。中部ジュラ系の堆積岩であるソコサニ(Socosani)累層に対比される。

(21) 単元 Ji-ch

図画 29-1 および図画 32-ñ に分布する。画像上では緑灰色、褐色を呈する。肌理は中で、水系密度は中である。侵食抵抗は低～中である。下部ジュラ系の堆積岩であるチョコレート(Chocolate)

累層に対比される。

(22) 単元 Per-mi

調査地域南部の図画 32-o に小規模に分布する。画像上では明緑灰色を呈する。肌理は中で、水系密度は中～高である。侵食抵抗は中である。二畳系の陸成堆積物であるミツ(Mitu)層群に対比される。

(23) 単元 Cs-ta

調査地域南部の図画 32-o に小規模に分布する。画像上では明黄褐色を呈する。肌理は中～粗で、水系密度は中である。侵食抵抗は低～中である。上部石炭系の堆積岩であるタルマ(Tarma)層群に対比される。

(24) 単元 Ci-am

調査地域南部の図画 32-n 南東端に小規模に分布する。画像上では灰色を呈する。肌理は中～粗で、侵食抵抗は低である。下部石炭系の堆積岩であるアンボ(Ambo)層群に対比される。

(25) 単元 Cmb-ma

調査地域西部の図画 31-m および図画 31-n に分布する。画像上では明青灰色～明赤灰色を呈する。肌理は粗で、水系密度は中～高である。侵食抵抗は低である。カンブリア系の変堆積岩である Marcona 累層に対比される。

(26) 単元 PeB

調査地域西部の図画 31-m、図画 31-n、図画 32-n の海岸地域および調査地域東部の図画 32-p、図画 32-q、図画 32-r に分布する。画像上で淡青灰色～淡灰色～褐色を呈する。肌理は粗で、水系密度は中である。侵食抵抗は中である。一部において結晶片岩などの片理方向に関係あると考えられる NW-SE 走向の縞状構造が認められる。先カンブリア界の変成岩であるサンフアン(San Juan)累層および海岸基盤複合岩体に対比される。

貫入岩類

(27) 単元 P-an/ri

調査地域東部の図画 31-r および図画 32-r に小規模に分布する。画像上で灰色、青灰色、淡褐色および褐色を呈する。肌理は中で、水系密度は中である。侵食抵抗は中である。新第三紀の安山岩質貫入岩に対比される。

(28) 単元 Ks-ti

図画 31-n、図画 32-n、図画 31-r および図画 32-r の海岸地域に分布する。画像上で緑灰色～淡褐色～褐色を呈する。肌理は中～粗で、水系密度は中～高である。侵食抵抗は中～高である。海岸底盤を構成する上部白亜系の複合貫入岩類であるティアバヤ(Tiabaya)岩系に対比される。

(29) 単元 Ks-in

調査地域北西部の図画 29-m、中央の図画 32-o、図画 32-p および図画 32-q に分布する。画像

上で明灰色、灰色及び褐色を呈する。肌理は粗～中で、水系密度は低～中である。侵食抵抗は中である。海岸底盤を構成する上部白亜系の複合貫入岩類である Incahuasi 岩系に対比される。

(30) 単元 Ks-pa

調査地域北西部の図画 29-m および調査地域東部の図画 32-p、図画 32-q に分布する。画像上で明紫灰色および淡褐色を呈する。肌理は中で、水系密度は中～高である。侵食抵抗は中である。海岸底盤を構成する上部白亜系の複合貫入岩類であるパンパワシ(Pampahuasi)岩系に対比される。

(31) 単元 Ki-li

調査地域南部の図画 31-n 及び図画 32- ñ に主に分布する。画像上で明緑灰色および淡褐色を呈する。肌理は中で、水系密度は中～高である。侵食抵抗は中である。海岸底盤を構成する下部白亜系の複合貫入岩類である Linga 岩系に対比される。

(32) 単元 Ki-pt

調査地域南部の図画 31-n、図画 32- ñ および図画 32-o に主に分布する。画像上で褐色および淡褐色を呈する。肌理は中で、水系密度は中～低である。侵食抵抗は中である。海岸底盤を構成する下部白亜系の複合貫入岩類であるパタブ(Patap)岩系に対比される。

(33) 単元 Ki-tun

調査地域西部の図画 30-m、図画 31-m および図画 31-n に分布する。画像上で青灰色および紫灰色を呈する。肌理は粗で、侵食抵抗は中である。白亜紀後期のトゥンガ(Tunga)安山岩類に対比される。

(34) 単元 Ki-bu

調査地域の海岸地域に断続的に分布する。画像上で青灰色、明緑灰色および淡褐色を呈している。肌理は粗で、水系密度は中～高である。侵食抵抗は中である。白亜紀後期の Bella Union 複合岩体に対比される。

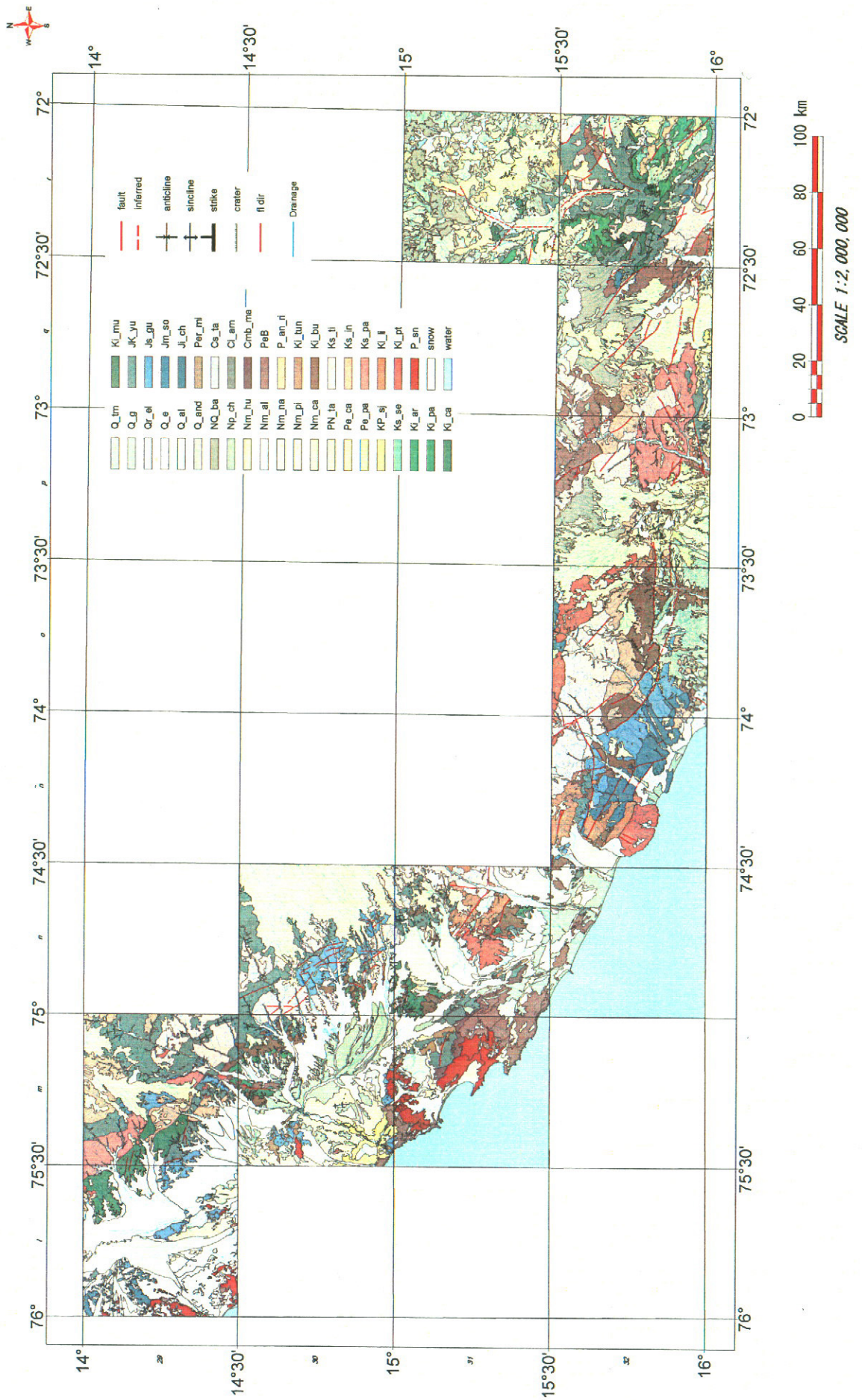
(35) 単元 P-sn

調査地域北西部の図画 29-1、図画 30-m および図画 31-m に認められる。画像上では明灰色を示し、場所により明紫灰色～青灰色を呈する。肌理は粗であるが、中程度の岩体も見られる。水系密度は中～高であり、浸蝕抵抗は中である。下部古生界の貫入岩である San Nicolas 底盤に対比される。

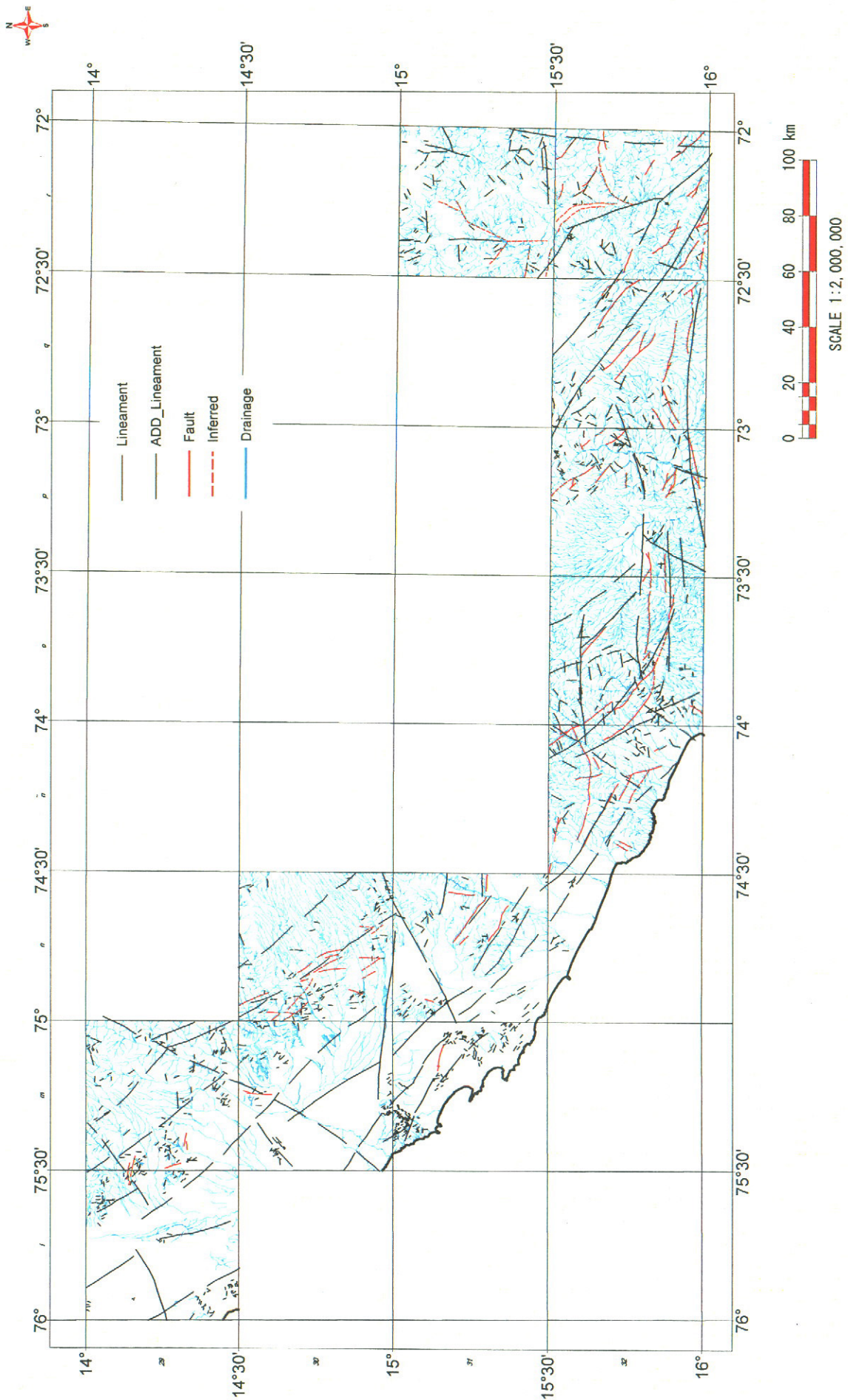
以下に各図画毎の画像判読結果を調査地域西部から東部の順に記述する(第7図、第8図)。

1) 図画 29-1

本図画では中央部を NW-SE 方向を主に、NE-SW 方向を従とした伸張を示す第四系の現地性堆積物(Q-e1)、風成層(Q-e)および沖積層(Q-a1)が低地に広く分布する。西部の海岸地帯には下部古生界の貫入岩(P-sn)が、先カンブリア系(PeB)を取り込んで分布する。その東側には下部ジュラ系堆積岩類(Ji-ch)、更に東側および中央部に上部ジュラ系堆積岩類(Js-gu)が分布する。中央部に



第7図 地質单元区分图



第8図 リニアメント解析図

はまた中新統堆積岩類(Nm-pi)も分布する。第四系を挟み図画の東部では上部ジュラ系堆積岩類および下部白亜系火山砕屑岩類(Ki-ca)が分布し、東北端に下部白亜系貫入岩類(Ki-pt)、上部白亜系貫入岩類(Ks-in、Ks-ti および Ks-pa)が貫入する。第四系の沖積層には R57 アノマリーが、風成層には R21 アノマリーが顕著に認められる。

2) 図画 29-m

本図画では南西端の低地に沖積層、山麓に崖錐等の第四系が分布する。北東に向け上部ジュラ系堆積岩類(Js-gu)、ジュラ-白亜系堆積岩類(JK-yu)、下部白亜系堆積岩類(Ki-ca)が分布し、これらを用いて下部白亜系貫入岩類(Ki-pt)の小岩体および上部白亜系の貫入岩類(Ks-in、Ks-pa および Ks-ti)が比較的大規模に分布する。これらを覆って中新統火山砕屑岩(Nm-na)が NE-SW~N-S の方向性を持ち分布する。中央部から北東部にかけて、上部ジュラ系堆積岩類(Js-gu)およびジュラ-白亜系堆積岩類(JK-yu)が再度出現することから、貫入岩類分布域には断層あるいは褶曲構造の存在が予測される。R57 アノマリーはジュラ-白亜系堆積岩類(JK-yu)に特徴的に認められる。

3) 図画 30-m

本図画は大部分がプレアンデス平野を構成する低地帯よりなる。南西部の海岸地帯には基盤岩類(PeB)、ジュラ系堆積岩類(Js-gu)の小ブロックが分布し、これらを覆って古第三系堆積岩類(Pe-pa)が分布する。図画西部には下部古生界の貫入岩類(P-sn)、上部ジュラ系堆積岩類(Js-gu) これらを用いて白亜系貫入岩類(Ki-tun)の小ブロックが分布する。北東部のアンデス山脈斜面ではジュラ紀~白亜紀の堆積岩類(Js-gu、JK-yu、Ki-pa)および火山砕屑岩類(Ki-ca)、これらを用いて白亜系貫入岩類(Ki-bu、Ks-ti)が分布する。これらの諸単元を覆って、低地帯の河川沿いには第四系堆積物(NQ-ch)沖積層が分布し、アンデス山脈の山麓部は崖錐が分布し、海岸線から画像中央部までの各所には砂丘を形成する風成層が分布する。

R21 アノマリーが南西部の小ブロックに認められる。

4) 図画 30-n

本図画では北部から中央西側にかけて西側から Ki-pa、Ki-ca、Jk-yu、Js-gu の各単元がほぼ NW-SE の方向性を持って配列し、このブロックの東部に於いて再度 JK-yu が出現する。これらを用いて白亜系貫入岩類(Ki-bu、Ki-li、Ks-ti)が分布する。図画東部は新第三系火山岩類(Nm-na)が広く分布する。図画南西部の河川沿いには沖積層が発達し、南端には図画 31-n に連なる風成層が出現する。

図画西部のブロックは NW-SE 系および N-S 系の断層が確認された。また、地質単元の配列から大きな褶曲構造の存在が予測される。

5) 図画 31-m

本図画は海岸線に沿う海岸山脈が主要部を占める。先カンブリア界(PeB)が北西部および南東部に分布し、その北東側にカンブリア系堆積岩類(Cmb-ma)が分布する。これらを用いて下部古生界貫入岩類(P-sn)が分布し、更にジュラ-白亜系堆積岩類(JK-yu)に覆われる。これらを用いて更に貫き、

白亜系貫入岩類(Ki-tun)が分布する。これらを新第三系堆積岩類(Nm-pi)が覆い、更に、第四系の海岸段丘(Q-tm)、風成層、沖積層がこれらを覆う。

6) 図画 31-n

南西部に図画 31-m から連続する先カンブリア界(PeB)、カンブリア系堆積岩類(Cmb-ma)および先カンブリア界がNW-SEの伸張をを持って分布する。北西部および南東部に下部白亜系堆積岩類(Ki-ca)およびこれを貫く白亜系貫入岩類(Ki-bu、Ki-pt、Ki-li)が位置し、北東部にジュラー白亜系堆積岩類(JK-yu)とこれを貫く白亜系貫入岩類(Ki-bu、Ki-li、Ks-ti)、これらを覆う新第三系火山岩類(Nm-na)が分布する。中央低地帯には図画 30-n から連続する風成層が大規模に分布し、更に南東へと伸張する。南西部の基盤岩類は第四系の海岸段丘(Q-tm)に一部覆われる。

7) 図画 32-n

図画 31-n から連続する第四系の海岸段丘、風成層、沖積層が主体で広く分布し、先カンブリア界、ジュラー白亜系堆積岩類、下部白亜系堆積岩類(Ki-ca)、白亜系貫入岩類(Ki-bu)、新第三系堆積岩類(Nm-pi)の小岩体が所々に出現する。

8) 図画 32-n̄

図画南東端には下部石炭系堆積岩類(Ci-am)が極小規模に出現する。図画中央部にはNW-SEの伸張を持ち、ジュラ系堆積岩類(Ji-ch、Js-gu)、ジュラー白亜系堆積岩類(JK-yu)が分布する。これらを貫いて種々の白亜系貫入岩類(Ki-bu、Ki-pt、Ki-li、Ks-in、Ks-ti)が大規模に分布する。これらの諸単元は、図画南西側の低地部では新第三系堆積岩類(Nm-pi)、北西側のアンデス山脈斜面山麓部では新第三系火山岩類(Nm-na、Nm-hu)に小規模に覆われる。これらは更に、北西部および南東端では風成層に、沿岸地域では海岸段丘に、河川沿いには沖積層に覆われる。

本図画ではNW-SE系、E-W系、N-S系、NE-SW系の連続性の良い明瞭なリニアメントが抽出された。

9) 図画 32-o

図画南西端には図画 32-n̄ に連続する下部石炭系堆積岩類(Ci-am)が極めて小規模に出現する。その東部には上部石炭系堆積岩類(Cs-ta)が小規模に分布する。その北部には下部ジュラ系堆積岩類(Ji-ch)および上部ジュラ系堆積岩類(Js-gu)が分布する。上部ジュラ系堆積岩類は図画最北部にも分布する。両者の間には白亜系貫入岩類(Ki-bu、Ki-pt、Ki-li、Ks-in、Ks-ti)が大規模に分布する。図画南部の上述の堆積岩類中には、白亜系貫入岩類(Ki-bu、Ks-in)が小規模に分布する。これらを覆って新第三系火山砕屑岩類(Nm-hu)、新第三系堆積岩類(Np-ch)が図画南西部に大規模に分布する。

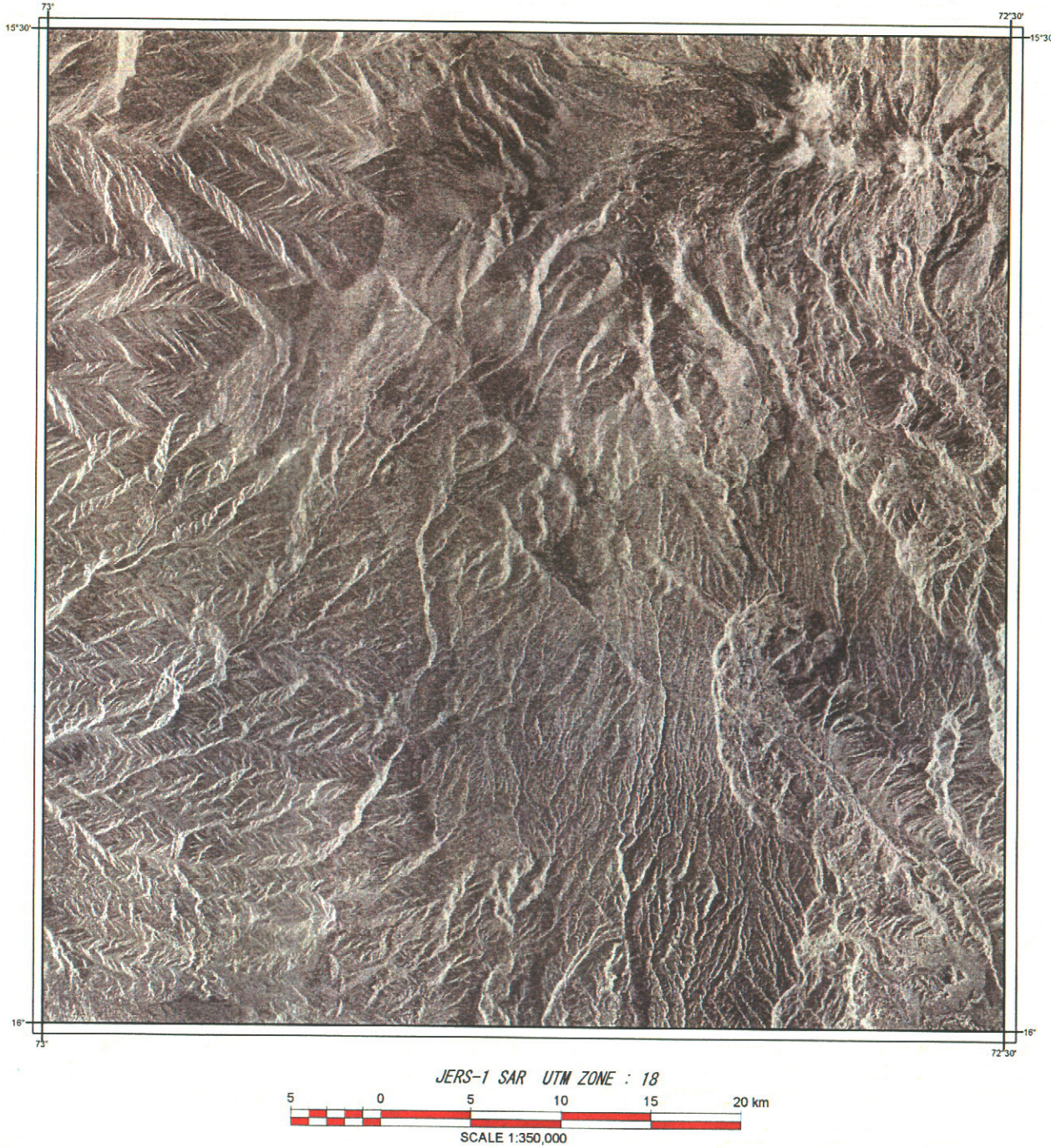
本図画ではNW-SE系、E-W系の連続するリニアメントが明瞭に認められる。また図画南西端ではNE-SW系のリニアメントも認められる。

10) 図画 32-p

本図画の東部の河川沿いの北部域および南部域に先カンブリア界(PeB)が分布する。南部域では

Chuquibamba

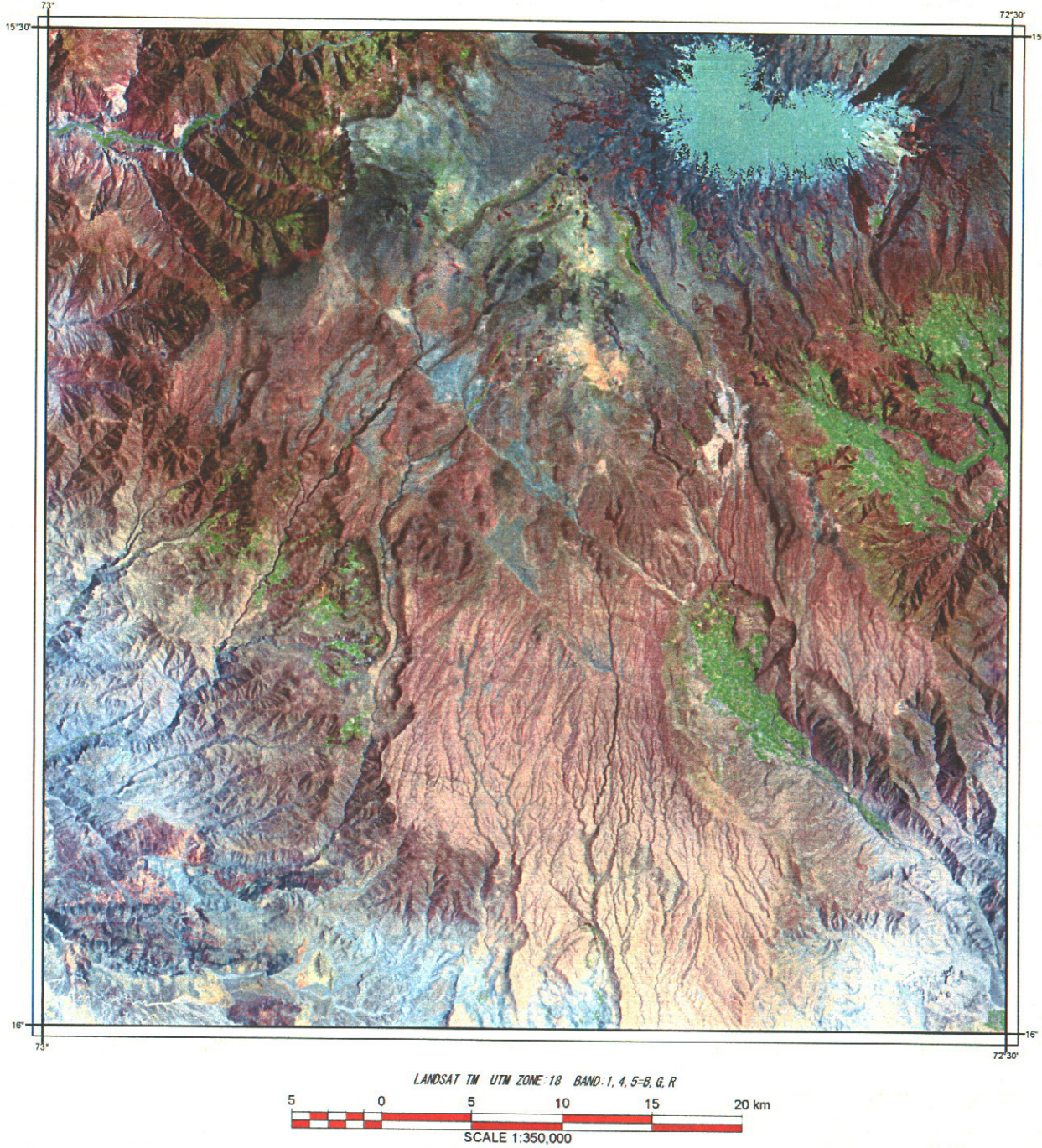
32 q



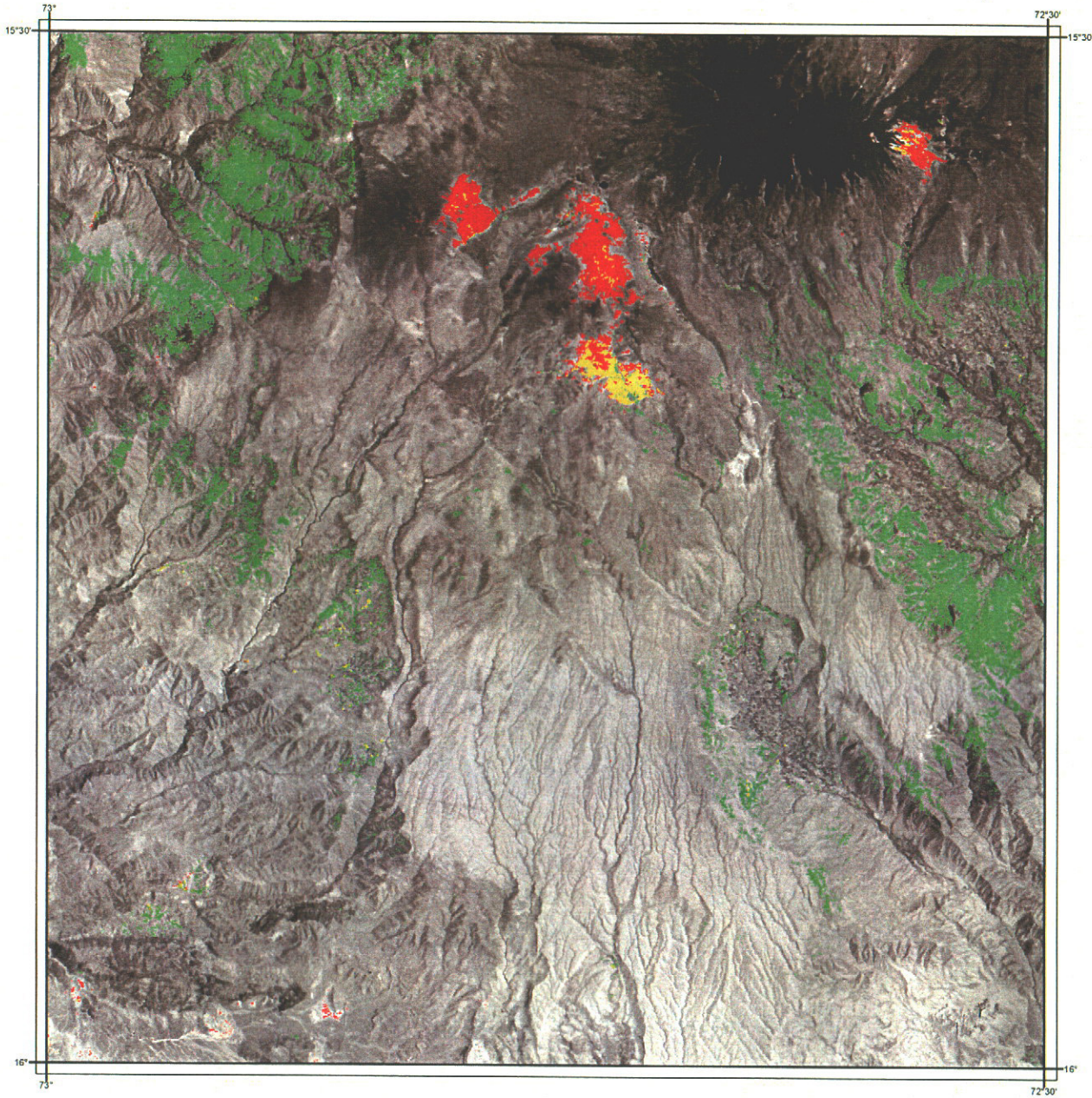
第 9-1 図 Chuquibamba 図画 (32-q) JERS-1 SAR 画像




Chuquibamba

32 q

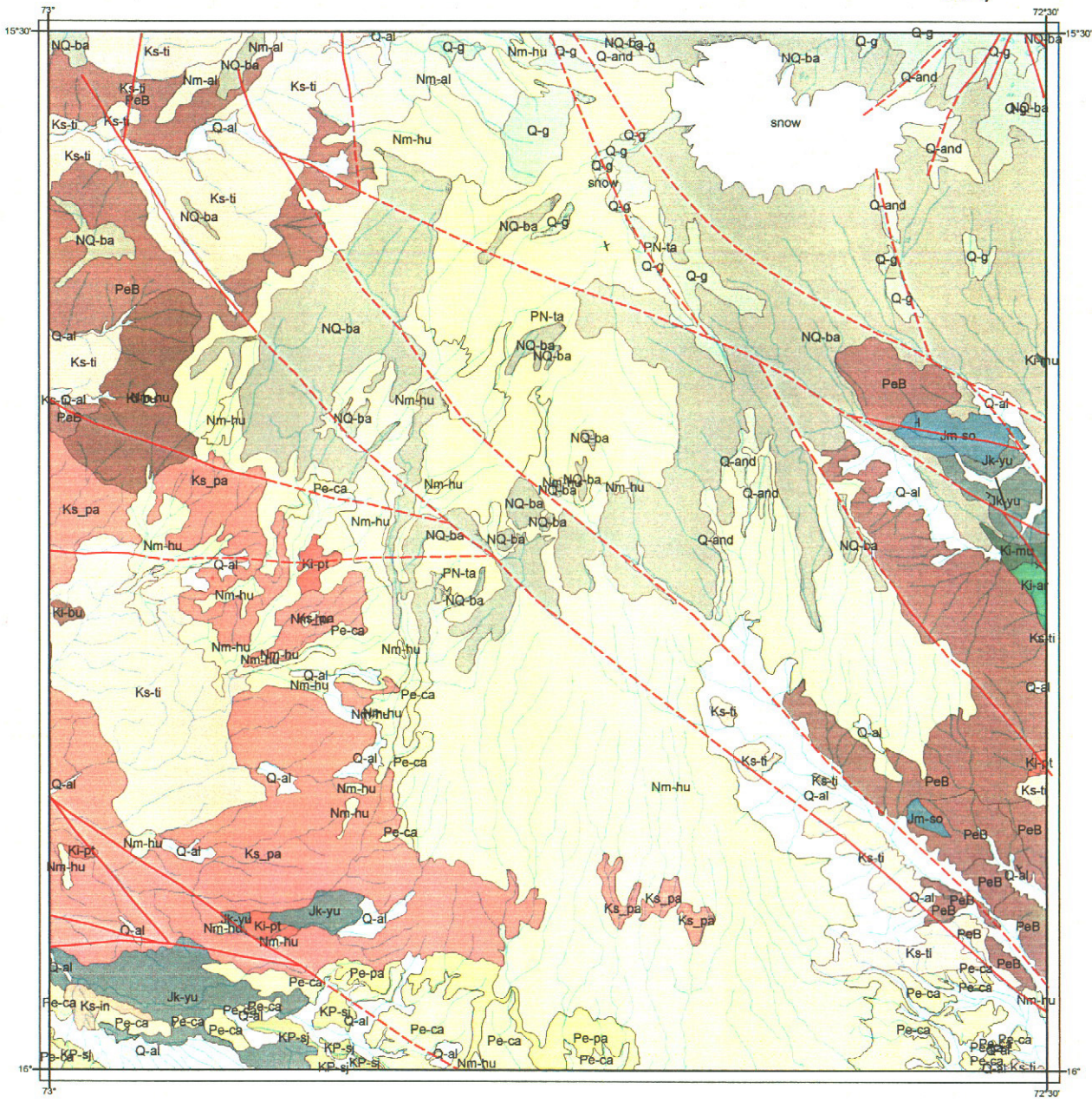


第 9-2 図 Chuquibamba 図画 (32-q) LANDSAT TM 画像

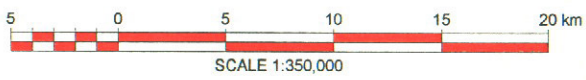


-  R21 (iron oxide index)
-  R57 (clay mineral index)
-  R21 + R57

第 9-3 图 Chuquibamba 图 (32-q) TM 非演算画像



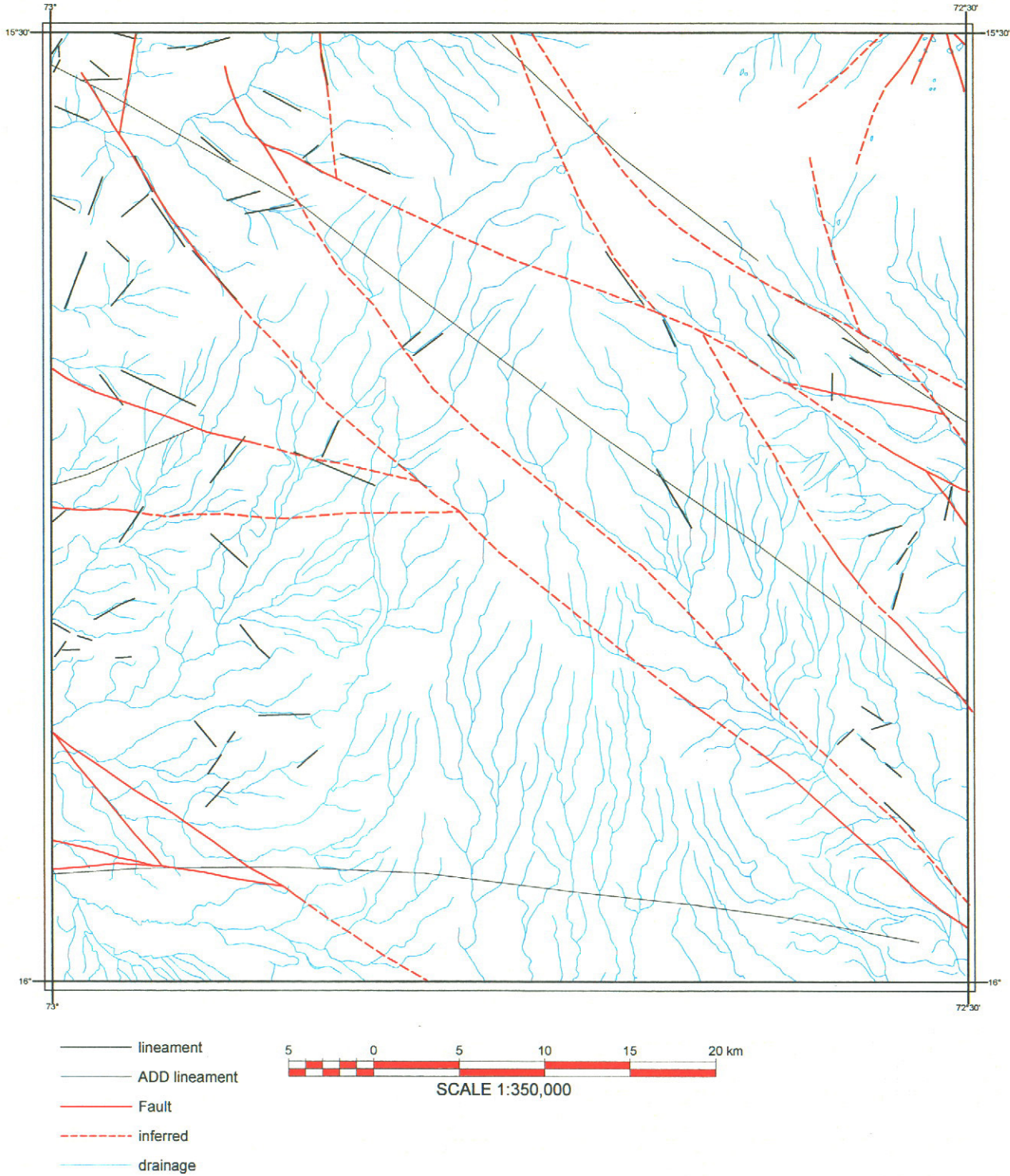
- Jk-yu
- Jm-so
- KP-sj
- Ki-ar
- Ki-bu
- Ki-mu
- Ki-pt
- Ks-in
- Ks-ti
- Ks_pa
- NQ-ba
- Nm-al
- Nm-hu
- PN-ta, Pe-ca
- Pe-pa
- PeB
- Q-al
- Q-and
- Q-g
- snow
- Fault
- inferred
- anticline
- strike
- drainage



第 9-4 图 Chuquibamba 图 (32-q) 地质单元区分图

Chuquibamba

32 q



第 9-5 図 Chuquibamba 図画 (32-q) リニアメント図

その周辺にジュラ系－白亜系堆積岩類(JK-yu)、白亜系－古第三系堆積岩類(KP-sj)が分布する。これらを貫いて白亜系貫入岩類(Ki-bu、Ki-pt、Ki-li、Ks-in、Ks-ti)が分布する。これらを覆って古第三系堆積岩類(Pe-ca、Pe-pa)、新第三系火山砕屑岩類(Nm-ca、Nm-hu)、新第三系堆積岩類(Np-ch)および第四系火山岩類(NQ-ba)が分布する。第三系および第四系は図画西部域の大半を占める。

西部域には図画 32-o から連続する E-W 系の明瞭なリニアメントが認められる。また東部域は NW-SE 系 ENE-WSW(E-W) 系のリニアメントが認められる。

11) 図画 32-q (第 9 図)

図画の北西部および西部中央に先カンブリア界(PeB)が分布する。南西端には図画 32-p から連続するジュラ系－白亜系(JK-yu)が分布する。西部の先カンブリア界北縁には中部ジュラ系堆積岩類(Jm-so)、ジュラ系－白亜系堆積岩類(JK-yu)、下部白亜系堆積岩類(Ki-mu、Ki-ar)が小規模に分布する。これらを貫き白亜系貫入岩類(Ki-pt、Ks-in、Ks-ti)が分布する。これらを覆い白亜系－古第三系堆積岩類(KP-sj)、古第三系堆積岩類(Pe-ca、Pe-pa)、古第三系－新第三系火山岩類(PN-ta)、新第三系火山砕屑岩類(Nm-al、Nm-hu)が分布する。これらを覆い第四系火山岩類(NQ-ba)が分布する。第三系は図画中央部を南北に縦断し、第四系は北部域を覆う。氷河堆積物(Q-g)および現世火山岩類(Q-and)も北部域に小規模に点在する。

図画南西部には NE-SW 系リニアメントが認められ、南部域には E-W 系の、中央部から北東部にかけて NW-SE 系のリニアメントが明瞭に認められる。

12) 図画 32-r

南西部には図画 32-q から連続する先カンブリア界(PeB)が小規模に分布する。更に図画北東部にも小規模な先カンブリア界が分布する。この間をジュラ系－白亜系堆積岩類(JK-yu)、下部白亜系堆積岩類(Ki-mu、Ki-ar)、上部白亜系堆積岩類(Ks-se)、白亜系－古第三系堆積岩類(KP-sj)が、大局的には NW-SE の方向性を持ち分布する。これらの諸単元を白亜系貫入岩類(Ks-ti)、第三系貫入岩類(P-an/ri)が貫く。さらにこれらを覆い古第三系－新第三系火山岩類(PN-ta)、新第三系火山砕屑岩類(Nm-hu)および第四系火山岩類(NQ-ba)が小規模に分布する。氷河堆積物(Q-g)および現世火山岩類(Q-and)が、各所に比較的纏まって分布する。

図画南西部の先カンブリア界およびこれを貫く白亜系貫入岩類分布域周辺では NW-SE～E-W 系のリニアメントが顕著である。中央部以北には N-S、NW-SE、E-W 等の不明瞭なリニアメントが識別される。

13) 図画 31-r (第 10 図)

ジュラ系－白亜系堆積岩類(JK-yu)、下部白亜系堆積岩類(Ki-mu、Ki-ar)が図画南西部に NW-SE の対極的方向性を持ち点在し、これらを覆って古第三系－新第三系火山岩類(PN-ta)がほぼ中央部および南西端に分布する。これらを貫き第三系貫入岩類(P-an/ri)が分布する。更にこれらを覆い新第三系火山砕屑岩類(Nm-hu)および第四系火山岩類(NQ-ba)が主として北東部に点在する。